

которого определяется углом обзора приемника. Антенные свойства МИП описываются формулой (2), дающей при $\lambda = \lambda_0$ форму центрального лепестка диаграммы направленности.

Для $\lambda = \lambda_0$ угловая полуширина $\delta\theta$ центрального лепестка на уровне $A_{\max}/2$ определяется по формуле

$$\delta\theta = \sqrt{\frac{1+k+x}{2C}}$$

Параметры МИП выбираются из требования максимальности A при $\lambda = \lambda_0$ и $\theta_0 = 0$. При этом оказывается, что $x \sim 1$, $k \ll 1$ [3]. Поэтому $\delta\theta \cong \sqrt{1/C}$. Как следует из выражений для C , величина C пропорциональна $1/T_1$. В свою очередь, $T_1 \sim (n_L/n_H)^{2N}$, где $2N$ — число слоев переднего зеркала. Поэтому $\delta\theta \sim (n_L/n_H)^N$. Отсюда видно, что угловая ширина центрального лепестка быстро уменьшается с увеличением числа слоев переднего зеркала или отношения n_H/n_L .

СПИСОК ЛИТЕРАТУРЫ

[1] Баскаков А. Н., Козарь А. В. и др. Письма в ЖТФ, 1976, 2, № 19, с. 891. [2] Пирогов Ю. А., Тихонравов А. В. Вестн. Моск. ун-та. Сер. Физ. Астрон., 1978, 19, № 6, с. 42. [3] Пирогов Ю. А., Тихонравов А. В. Изв. вузов. Сер. Радиоэлектроника, 1978, 21, № 3, с. 19. [4] Антонов В. В., Войцеховский А. В. и др. Радиотехн. и электроника, 1978, 23, № 10, с. 2189. [5] Баскаков А. Н. Автореф. канд. дис. М.: Изд-во Моск. ун-та, 1979. [6] Клементьева А. Ю., Тихонравов А. В. Вестн. Моск. ун-та. Сер. Физ. Астрон., 1978, 19, № 3, с. 75.

Поступила в редакцию
27.03.81

ВЕСТН. МОСК. УН-ТА. СЕР. 3. ФИЗИКА. АСТРОНОМИЯ, 1983, т. 24, № 1

УДК 62—50+534

ИССЛЕДОВАНИЕ ТИПОВ ТРАЕКТОРИЙ КОРНЕЙ ЛИНЕЙНЫХ И ЛИНЕАРИЗОВАННЫХ СИСТЕМ ЧЕТВЕРТОГО ПОРЯДКА

Г. А. Бендриков, В. И. Мифтахов

(кафедра физики колебаний)

Как известно, качество переходного процесса системы зависит от расположения нулей и полюсов передаточной функции относительно полюсов комплексного спектра внешнего воздействия. Поэтому важной задачей является исследование законов движения полюсов системы (корней характеристического уравнения) при изменении параметров системы.

В отличие от [1, 2] в настоящей работе проведено полное исследование всех типов траекторий корней (ТК) линейных и линеаризованных систем, описываемых характеристическим уравнением

$$(a_0 p^4 + a_1 p^3 + a_2 p^2 + a_3 p + a_4) + K = 0. \quad (1)$$

Здесь K — свободный параметр, изменяющийся в широких пределах ($0 \leq K < +\infty$ или $-\infty < K \leq 0$), a_i ($i=0, 1, \dots, 4$) — параметры семейства ТК, принимающие самые разнообразные значения. К такому виду могут приводиться уравнения свободных движений систем различной физической природы с обратной связью или без нее, пассивных или активных.

В зависимости от численных значений a_i , однозначно задающих на плоскости комплексных частот $p = \delta + j\omega$ расположение четырех начальных точек, ТК уравнения (1), могут иметь девять типов. Эти типы ТК отличаются числом и взаимным расположением кратных точек, а также симметрией или асимметрией относительно вертикальной прямой, проведенной через центр асимптот [3].

Анализируя различные типы ТК уравнения (1), можно установить характер потери устойчивости при отрицательной и положительной обратной связи, способы достижения максимальной степени устойчивости, проследить за изменением реакции системы на типовые воздействия при варьировании свободного параметра и т. д. В случае отсутствия нулей системы полный корневой годограф [4] содержит все данные для построения переходной характеристики на единичное ступенчатое воздействие, а для систем, допускающих гармоническую линеаризацию, позволяет определить амплитуду и устойчивость периодических движений в системе [5].

Производя в уравнении (1) замену $p = p_1 - a_1/(4a_0)$, означающую перенос мнимой оси $j\omega$ в центр асимптот $a^* = -a_1/(4a_0)$, получим

$$(p_1^4 + Np_1^2 + Mp_1) + K_1 = 0, \quad (2)$$

где

$$N = \frac{a_2}{a_0} - \frac{3}{8} \left(\frac{a_1}{a_0}\right)^2, \quad M = \frac{a_3}{a_0} - \frac{1}{2} \frac{a_1}{a_0} \frac{a_2}{a_0} + \frac{1}{8} \left(\frac{a_1}{a_0}\right)^3 \quad (3)$$

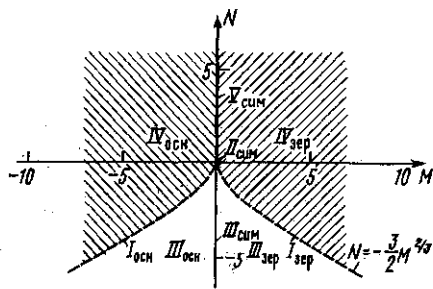
два новых параметра семейства ТК, выражающиеся через коэффициенты a_i уравнения (1),

$$K_1 = \frac{K}{a_0} + \frac{a_4}{a_0} - \frac{1}{4} \frac{a_1}{a_0} \frac{a_2}{a_0} + \frac{1}{16} \left(\frac{a_1}{a_0}\right)^2 \frac{a_2}{a_0} - \frac{3}{256} \left(\frac{a_1}{a_0}\right)^4$$

параметр ТК, являющийся линейной функцией K . При таком выборе K_1 начальные точки уравнения (2) получаются переносом начальных точек уравнения (1) вдоль ТК, причем одна из начальных точек уравнения (2) всегда равна нулю. Согласно [3], такие преобразования на плоскости комплексных частот не меняют типа ТК.

Выделим на действительной плоскости (M, N) области и границы между ними, соответствующие различным типам ТК уравнения (2). При $M=0, -\infty < N < +\infty$ начальные точки, а следовательно, и корневые годографы уравнения (2) симметричны относительно мнимой оси комплексной плоскости p_1 . При $M \neq 0$ для любых двух пар значений ($M; N$) и $(-M; N)$ начальные точки и корневые годографы уравнения (2) получаются зеркальным отражением относительно мнимой оси комплексной плоскости p_1 . Типы ТК для значений параметров M и N , лежащих в левой полуплоскости (M, N), назовем основными, в правой полуплоскости — зеркальными и на оси ординат — симметричными. Будем обозначать их римскими цифрами с индексами — в соответствии с рисунком.

Кратные точки ТК уравнения (2), числом и взаимным расположением которых отличаются различные типы ТК, найдем из уравнения



возможных кратных точек [3]

$$p_1^3 + \frac{N}{2} p_1 + \frac{M}{4} = 0. \quad (4)$$

Действительные корни уравнения (4) всегда являются кратными точками ТК, а комплексно-сопряженные требуют проверки удовлетворения уравнению (2).

Из анализа дискриминанта уравнения (4) $D = -4(N/2)^3 - 27(M/4)^2$ нетрудно установить следующее.

1) При $D=0$, т. е.

$$N = -\frac{3}{2} M^{2/3}, \quad (5)$$

все три корня уравнения (4) действительные, причем два из них равны между собой. На рисунке кривая (5) изображена прерывистой линией. Она соответствует типам ТК с одной двукратной и одной трехкратной точками (см. I_{осн} и I_{зер} типы ТК таблицы). В частном случае $M=N=0$ все три корня уравнения (4) равны нулю, а ТК уравнения (2) имеют четырехкратную начальную точку (см. II_{сим} тип ТК таблицы).

2) При $D > 0$ ($N < -\frac{3}{2} M^{2/3}$) уравнение (4) имеет три различных действительных корня, а ТК уравнения (2) — три двукратные точки (III_{осн}, III_{сим} и III_{зер} типы ТК таблицы).

3) При $D < 0$ ($N > -\frac{3}{2} M^{2/3}$) только один корень уравнения (4) действительный, поэтому ТК уравнения (2) имеют одну двукратную точку (IV_{осн} и IV_{зер} типы ТК таблицы).

Комплексно-сопряженные точки ТК могут быть только двукратными (порядок характеристического уравнения равен четырем). Их можно найти, записав уравнение (2) в виде

$$(p_1^4 + N p_1^2 + M p_1) + K_1 = (p_1 - \alpha - j\beta)^2 (p_1 - \alpha + j\beta)^2 = 0.$$

Раскрывая скобки и приравнявая коэффициенты при одинаковых степенях p_1 , получим условия

$$M=0, \quad 0 < N < +\infty, \quad (6)$$

при которых ТК уравнения (2) имеют двукратные комплексно-сопряженные точки $\alpha \pm j\beta$. На плоскости (M, N) этому соответствует положительная ось ординат, изображенная на рисунке жирной линией. При выполнении (6) с учетом $D < 0$ ТК уравнения (2) имеют двукратную действительную и двукратные комплексно-сопряженные точки (V_{сим} тип ТК таблицы).

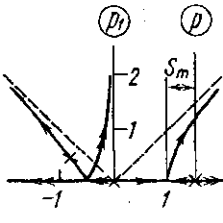
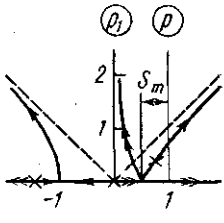
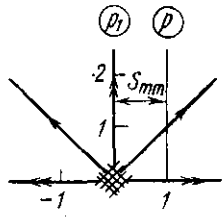
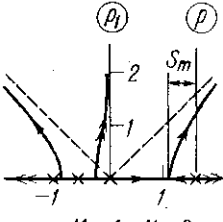
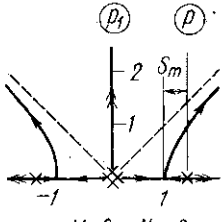
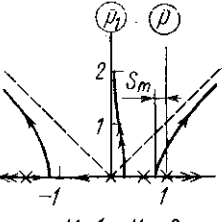
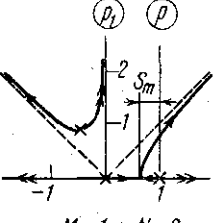
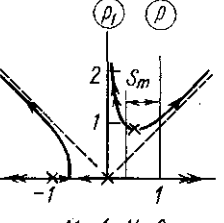
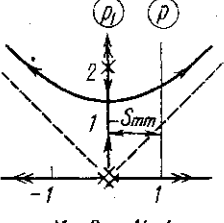
Таким образом, все многообразие корневых годографов уравнения (2), а следовательно, и уравнения (1) может быть сведено к девяти типам ТК. Пусть при обратном переходе к уравнению (1) мнимая ось $j\omega$ занимает положение, обозначенное на корневых годографах таблицы через p в кружочке. Чтобы не усложнять рисунки в таблице, положение начальных точек оставим без изменения. Будем рассматривать как положительные, так и отрицательные корневые годографы. Из анализа различных типов ТК можно сделать ряд выводов.

С увеличением $|K|$ устойчивые в разомкнутом состоянии системы класса [4; 0] (в этом обозначении 4 — число начальных, а 0 — число предельных точек ТК) становятся неустойчивыми. При отрицательной обратной связи ($K \geq 0$) неустойчивость обусловлена выходом пары комплексно-сопряженных корней в правую полуплоскость p , что при-

водит к колебательному самовозбуждению системы. Критическая частота определяется из уравнения ТК при $\delta=0$ [3]

$$\omega_k^2 = a_3/a_1, \quad (7)$$

Типы траекторий корней систем класса [4; 0]

Тип ТК	$I_{\text{осн}}$	$I_{\text{зер}}$	$II_{\text{сум}}$
Область значений параметров	$N = -1,5 \sqrt[3]{M^2},$ $-\infty < M < 0$	$N = -1,5 \sqrt[3]{M^2},$ $0 < M < +\infty$	$N = 0,$ $M = 0$
Численный пример	 $M = -1; N = -1,5$	 $M = 1; N = -1,5$	 $M = N = 0$
Тип ТК	$III_{\text{осн}}$	$III_{\text{сум}}$	$III_{\text{зер}}$
Область значений параметров	$N < -1,5 \sqrt[3]{M^2},$ $-\infty < M < 0$	$-\infty < N < 0,$ $M = 0$	$N < -1,5 \sqrt[3]{M^2},$ $0 < M < +\infty$
Численный пример	 $M = -1; N = -2$	 $M = 0; N = -2$	 $M = 1; N = -2$
Тип ТК	$IV_{\text{осн}}$	$IV_{\text{зер}}$	$V_{\text{сум}}$
Область значений параметров	$N > -1,5 \sqrt[3]{M^2},$ $-\infty < M < 0$	$N > -1,5 \sqrt[3]{M^2},$ $0 < M < +\infty$	$0 < N < +\infty,$ $M = 0$
Численный пример	 $M = -1; N = 0$	 $M = 1; N = 0$	 $M = 0; N = 4$

а соответствующее ей критическое значение свободного параметра по формуле

$$-K_k = a_0 \omega_k^4 - a_2 \omega_k^2 + a_4 = a_0 \left(\frac{a_3}{a_1} \right)^2 - a_2 \left(\frac{a_3}{a_1} \right) + a_4. \quad (8)$$

При положительной обратной связи ($K \leq 0$) с ростом $|K|$ один из действительных корней переходит в правую полуплоскость p , и система становится аperiodически неустойчивой. В этом случае $\omega_k = 0$ и формула (8) принимает вид

$$-K_a = a_4.$$

Для устойчивых систем важной характеристикой является степень устойчивости S , равная по абсолютной величине действительной части ближайшего к мнимой оси корня (или корней) уравнения (1). Проследив за изменением S при изменении свободного параметра K для каждого из типов ТК, данных в таблице, можно найти максимальную степень устойчивости. Она может достигаться:

1) в кратных точках, ближайших к мнимой оси $j\omega$ (для большинства типов ТК);

2) при расположении одного действительного и пары комплексно-сопряженных корней, движущихся в противоположных направлениях, на одной вертикальной прямой ($IV_{\text{зер}}$ тип ТК таблицы);

3) при расположении всех четырех корней на вертикальной прямой, проведенной через центр асимптот ($V_{\text{сим}}$ тип ТК таблицы).

В первых двух случаях величина S_m достигается при единственном значении $K = K_m$, определяемом из полного корневого годографа, в последнем случае — в целой области значений K . Для систем, замкнутых обратной связью, максимальная степень устойчивости может получиться не только при отрицательной, но и при положительной обратной связи (см., например, $I_{\text{зер}}$ тип ТК). Для $II_{\text{сим}}$ и $V_{\text{сим}}$ типов ТК она равна максимальной степени устойчивости систем класса $[4; 0]$ $S_{mm} = |a^*| = a_1 / (4a_0)$, для остальных типов ТК — меньше этой величины. Сдвигая центр асимптот a^* влево, т. е. перемещая начальные точки влево относительно мнимой оси $j\omega$, можно увеличить максимальную степень устойчивости системы.

В случае заданных значений a_i плоскость параметров (M, N) может быть использована для качественного построения корневого годографа (по начальным точкам, асимптотике и знанию типа ТК). Для семейства корневых годографов уравнения (1) на плоскости (M, N) можно построить кривые в функции параметра семейства ТК и проследить по ним за изменением типа ТК от этого параметра. Все это позволяет облегчить анализ и синтез систем класса $[4; 0]$.

Пример. Определим тип ТК следящей системы автопилота [6], описываемой характеристическим уравнением

$$p(p+1,57)(p^2+10,7p+58,9)+K=0. \quad (9)$$

Раскрывая скобки и приводя подобные члены, находим $a_0=1$; $a_1=-12,270$; $a_2=75,699$; $a_3=92,473$; $a_4=0$, откуда по формулам (3) вычисляем $N=19,24$; $M=-141,03$. С помощью рисунка и соотношений таблицы находим, что ТК уравнения (9) имеют $IV_{\text{осн}}$ тип. Согласно (7) и (8) $\omega_k=2,7$ и $K_k=513,7$. При отрицательной обратной связи система устойчива в области $0 < K < 513,7$. Как видно из примера $IV_{\text{осн}}$ типа ТК таблицы, доминирующие корни уравнения (9) при малых значениях K

действительные, при больших — комплексно-сопряженные. Этих данных достаточно, чтобы судить о свойствах системы в области устойчивости.

СПИСОК ЛИТЕРАТУРЫ

[1] Yeh V. C. M. Trans. of ASME, ser. D, 1954, 76, N 3, p. 349. [2] Бендриков Г. А., Теодорчик К. Ф. Автоматика и телемеханика, 1955, 16, № 3, с. 288. [3] Бендриков Г. А., Теодорчик К. Ф. Траектории корней линейных автоматических систем. М.: Наука, 1964. [4] Бендриков Г. А., Фонсека Араухо У. Вестн. Моск. ун-та. Сер. Физ. Астрон., 1973, 14, № 1, с. 60. [5] Кузнецов Ю. И. Автореф. канд. дис. М.: Изд-во Моск. ун-та, 1967. [6] Блейклок Дж. Г. Автоматическое управление самолетами и ракетами. М.: Машиностроение, 1969.

Поступила в редакцию
08.06.81

ВЕСТН. МОСК. УН-ТА. СЕР. 3. ФИЗИКА. АСТРОНОМИЯ, 1983, т. 24, № 1

УДК 551.466.31

СПЕКТРЫ ЗАРОЖДАЮЩИХСЯ ВЕТРОВЫХ ВОЛН

Г. Е. Кононкова, К. В. Показеев

(кафедра физики моря и вод суши)

Форма спектра развитых ветровых волн достаточно хорошо изучена; существует ряд эмпирических и теоретических моделей спектров ветрового волнения для больших разгонов или для большой продолжительности действия ветра [1]. Зарождение ветрового волнения и формы его спектра исследовались мало. (Зарождающимися мы называем работы дистанционных методов изучения океана, так как именно волны, имеющие разгон не более нескольких метров). Данные структуре высокочастотного поверхностного волнения также важны для коротковолновое поверхностное волнение определяет радиолокационную или оптическую яркость морской поверхности.

С целью изучения спектров зарождающегося ветрового волнения (ЗВВ) нами был проведен эксперимент в аэрогидроканале в условиях глубокой воды. Измерение возвышений поверхности проводилось струнными волнографами, датчики которых размещались вдоль оси канала на разгонах, равных 46, 98, 170, 235, 250, 300 и 370 см. Средняя скорость ветра в канале измерялась трубкой Пито. Профиль средней скорости ветра удовлетворял логарифмической зависимости. Изменение динамической скорости V_* вдоль канала при малых разгонах было незначительным. Эксперимент был проведен при V_* , равных 35, 46, 65, 83 и 90 см/с. Более подробно методика экспериментов описана в работе [2].

Для различных разгонов X и динамических скоростей V_* были получены записи возвышений поверхности $\eta(X, V_*, t)$, по которым были рассчитаны спектры возвышений поверхности $S(\omega)$. Поскольку исследовалось только стационарное волнение, анализировались зависимости спектров от X и V_* . На рис. 1 приведены спектры ветрового волнения при $V_* = \text{const}$ и переменной величине X , а на рис. 2 — спектры $S(\omega)$ при $X = \text{const}$ и переменной V_* . Изменение спектра при росте X ($V_* = \text{const}$) происходит обычным образом: растет величина максимума спектра, максимум смещается в сторону более низких частот. В области высоких частот существует участок равновесия. Спектры волн при $X = \text{const}$ и переменной V_* уже не имеют интервала равновесия: про-